

Elektronų įgreitėjimo stipriame elektriniame lauke įtaka fotolaidžios terahercų antenos savybėms

Gediminas Šlekas

2019 05 07

VG TU

Matematinio Modeliavimo Katedros seminaras



Padėka

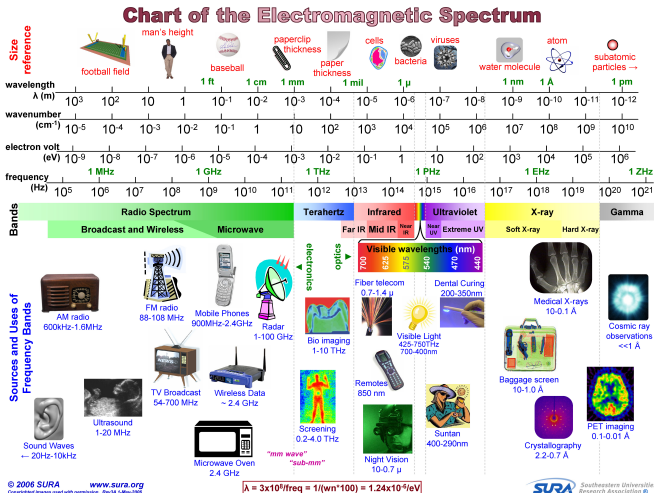
Podoktorantūros stažuotė finansuojama **Europos socialinio fondo** lėšomis pagal priemonę "Mokslininkų, kitų tyrėjų, studentų mokslinės kompetencijos ugdymas per praktinę mokslinę veiklą". Projekto Nr. 9.3.3-LMT-K-712-02-0037.



Planas

1. Terahercų spinduliuotė
2. Fotolaidi THz antena
3. Matematiniai–fizikiniai modeliai
4. Sprendimo metodai
5. Modelių palyginimas

Elektromagnetinių bangų spektras



Terahercų savybės

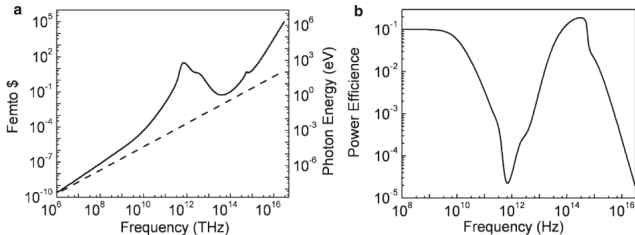
- ▶ Mažas bangos ilgis (0.1 mm – 1 mm)
- ▶ Nejonizuoja medžiagos atomų
- ▶ Stipriai absorbuojami vandens garų
- ▶ Sąveikauja su molekulių rotaciniais ir vibraciniais spektrais
- ▶ Gerai sklinda per dielektrikus



THz panaudojimas

- ▶ Skenavimui per drabužius ar įpakavimus
- ▶ Defektų nustatymui
- ▶ Medicininei diagnostikai
- ▶ Cheminių medžiagų aptikimui
- ▶ Puslaidininkinių savybių tyrimui
- ▶ Telekomunikacijai

Panaudojimo problemos

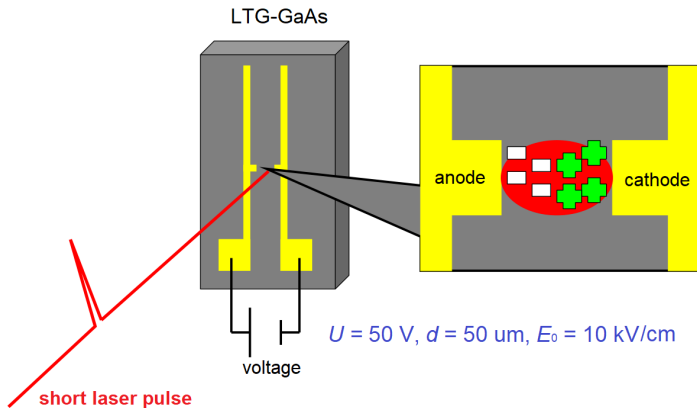


X.-C. Zhang, Jingzhou Xu, *Introduction to THz Wave Photonics*, Springer 2010.

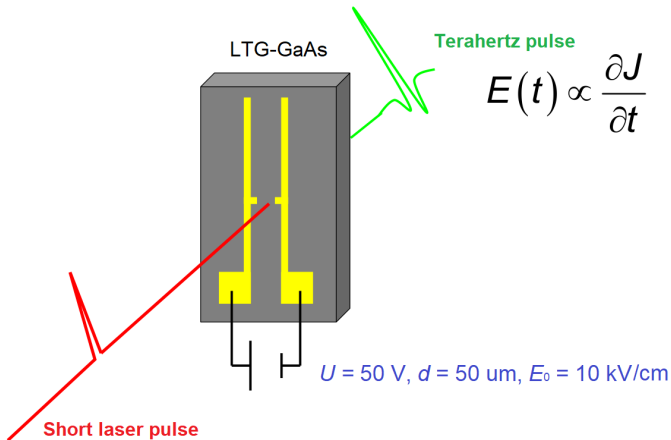
- ▶ Žemas antenų efektyvumas
- ▶ Stipri absorbcija atmosferoje
- ▶ Ribotas supratimas apie THz generavimo procesą
- ▶ Tikslių antenų teorinių modelių trūkumas



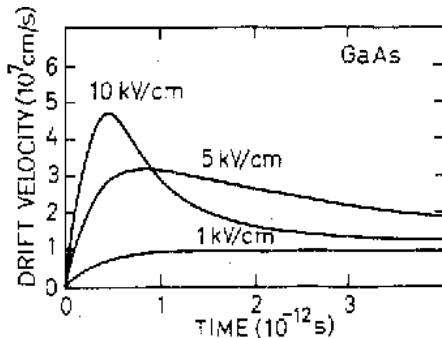
Fotolaidi antena



Veikimo principas



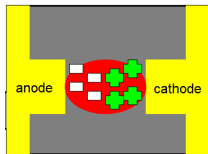
Elektronų įgreitėjimas stipriame elektriniame lauke



S. Teitel, J. Wilkins, *Ballistic transport and velocity overshoot in semiconductors: Part I; Uniform field effects*, IEEE Transactions on Electron Devices, 1983.



Multifizika

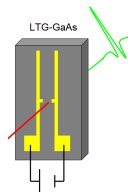


Boltzman'o kinetinė lygtis

$$n := n(\mathbf{r}, \mathbf{p}, t)$$

$$\frac{\partial n}{\partial t} + \frac{\mathbf{p}}{m} \cdot \nabla n + e\mathbf{E} \cdot \frac{\partial n}{\partial \mathbf{p}} = S(n)$$

$$\mathbf{j}(\mathbf{r}, t) = -\frac{e}{m} \int \mathbf{p} n(\mathbf{r}, \mathbf{p}, t) d\mathbf{p}.$$



Maxwell'o lygtys

$$\frac{\partial \mathbf{E}}{\partial t} = \frac{1}{\epsilon} [\nabla \times \mathbf{H} - \mathbf{j}]$$

$$\frac{\partial \mathbf{H}}{\partial t} = -\frac{1}{\mu} \nabla \times \mathbf{E}$$



Du sprendimo būdai

1. Deterministiniai modeliai

- ▶ paremti diferencialinėmis lygtimis
- ▶ BKL aproksimacijos
- ▶ nežinomieji - būsenų tankio funkcijos momentai
- ▶ sumažinta uždavinio dimensija
- ▶ mažiau kompiuterio resursų
- ▶ lygtyse yra nežinomų parametrų

2. Monte Carlo metodas

- ▶ stochastinis
- ▶ modeliuojamas dalelių ansamblis
- ▶ įskaitomi pagrindiniai sklaidos mechanizmai
- ▶ koordinatės, impulso ir energijos kitimas laike
- ▶ tiksliausias metodas
- ▶ reiklus kompiuterio resursams



Bolcmann'o kinetinės lygties momentai

$$\frac{\partial n}{\partial t} + \frac{\mathbf{k}}{m} \cdot \nabla n + e\mathbf{E} \cdot \frac{\partial n}{\partial \mathbf{k}} = S(n)$$

$$n(\mathbf{r}, t) = \int n(\mathbf{r}, \mathbf{k}, t) d\mathbf{k}$$

$$\mathbf{j}(\mathbf{r}, t) = \frac{1}{m} \int \mathbf{k} n(\mathbf{r}, \mathbf{k}, t) d\mathbf{k}$$

$$\epsilon(\mathbf{r}, t) = \frac{1}{2m} \int \mathbf{k}^2 n(\mathbf{r}, \mathbf{k}, t) d\mathbf{k}$$



Dreifo-difuzijos modelis

$$\frac{\partial n(x, t)}{\partial t} = \frac{1}{e} \frac{\partial j(x, t)}{\partial x} + \frac{\alpha \kappa I(x, t)}{\hbar \omega} - \frac{n(x, t)}{\tau_r},$$
$$j(x, t) = e \mu E_0 n(x, t) + e D_n \frac{\partial n(x, t)}{\partial x}.$$



Normuoti dydžiai

$$I' = \frac{I}{I_0},$$

$$n' = \frac{n}{n_0},$$

$$j' = \frac{j}{j_0},$$

kur

$$E_0 = \frac{U_0}{d},$$

$$n_0 = \frac{\alpha \kappa I_0 \tau_r}{\hbar \omega},$$

$$j_0 = e \mu n_0 E_0.$$



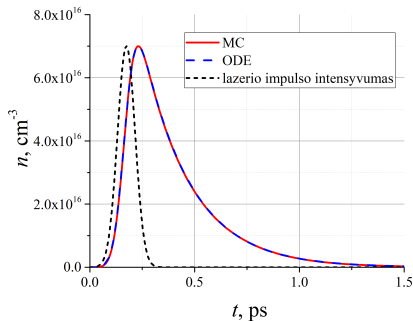
Normuotos lygtys pagal parametrus LTG-GaAs

$$\frac{\partial n(x, t)}{\partial t} = 1 \times 10^{-3} \cdot \frac{\partial j(x, t)}{\partial x} + I(x, t) - n(x, t),$$
$$j(x, t) = n(x, t) E_0 + 5 \times 10^{-4} \cdot \frac{\partial n(x, t)}{\partial x}.$$



Homogeniškos relaksacijos modelis (ODE)

$$\frac{\partial n(t)}{\partial t} = I(t) - n(t),$$
$$j(t) = e\mu E_0 n(t).$$



Monte Carlo metodas. BKL sklaidos narys

$$\frac{\partial n}{\partial t} + \frac{\mathbf{p}}{m} \cdot \nabla n + e\mathbf{E} \cdot \frac{\partial n}{\partial \mathbf{p}} = S(n)$$

$$S(n) = \int_{\mathbf{k}'} [n(\mathbf{r}, \mathbf{k}', t)P(\mathbf{k}', \mathbf{k}) - n(\mathbf{r}, \mathbf{k}, t)P(\mathbf{k}, \mathbf{k}')] d^3\mathbf{k}' d^3\mathbf{k}$$

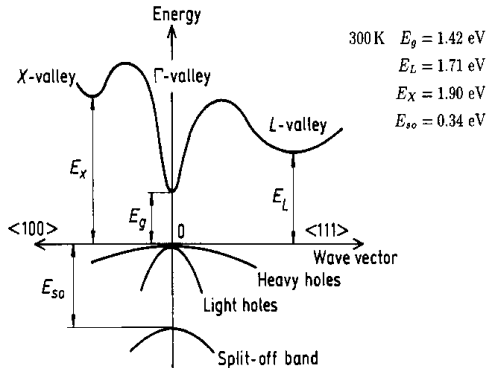
$P(\mathbf{k}, \mathbf{k}')d^3\mathbf{k}'dt$ dalelės sklaidos tikimybė iš būsenos su impulsu \mathbf{p} į būseną su impulsu \mathbf{p}' .



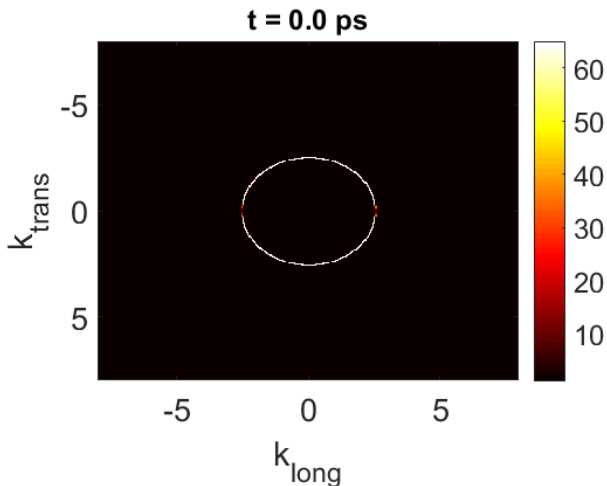
Dominuojantys sklaidos mechanizmai LTG-GaAs

- ▶ Jonizuotos priemaišos
- ▶ Deformaciniai akustiniai fononai
- ▶ Poliariniai optiniai fononai
- ▶ Tarpslėninė sklaida

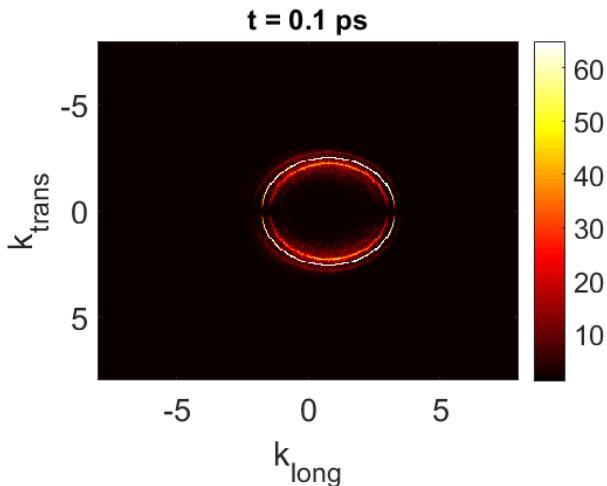
GaAs energetinių zonų struktūra



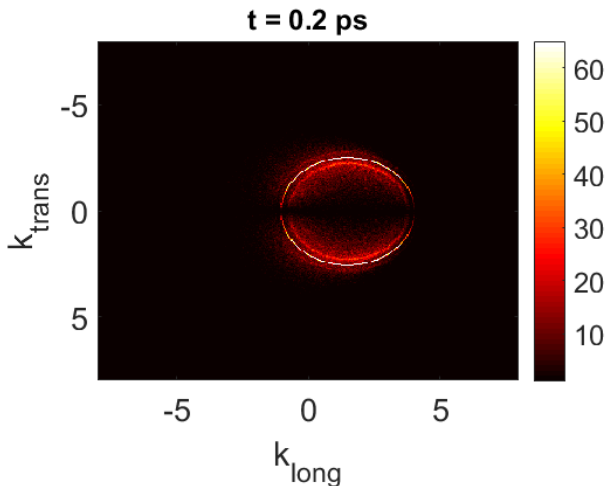
Elektronų dinamika be jonizuotų priemaišų



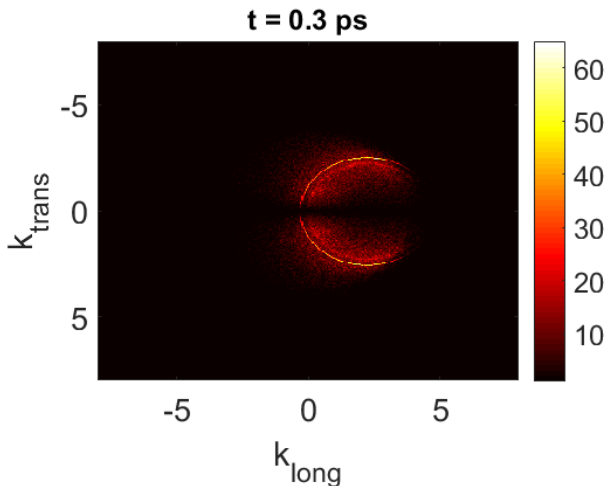
Elektronų dinamika be jonizuotų priemaišų



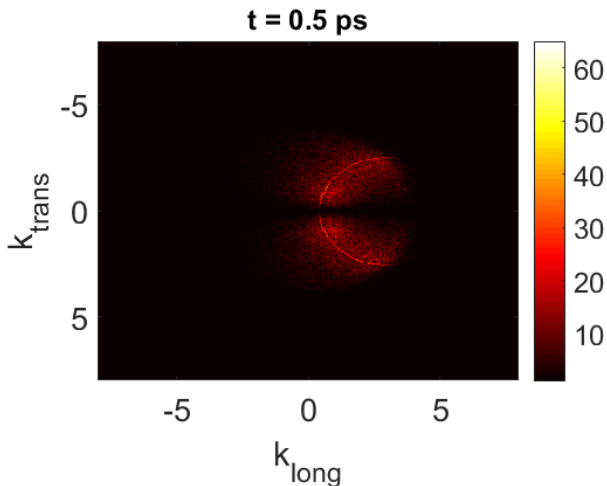
Elektronų dinamika be jonizuotų priemaišų



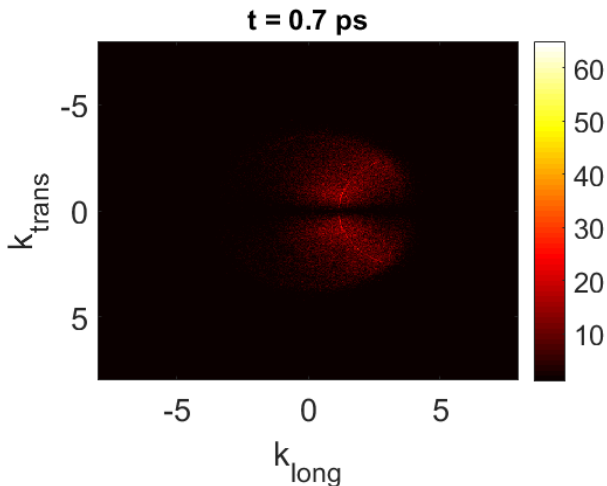
Elektronų dinamika be jonizuotų priemaišų



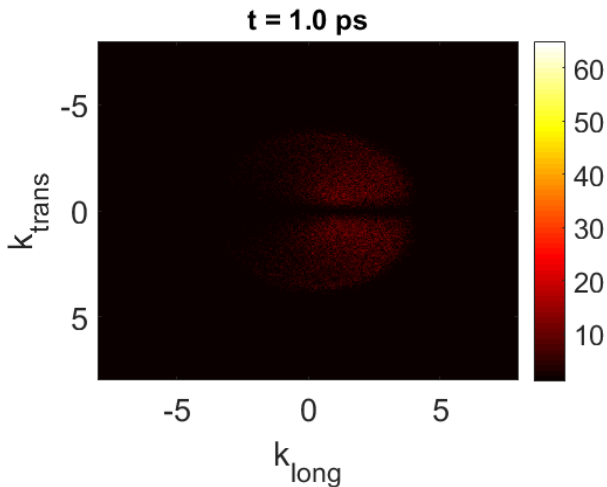
Elektronų dinamika be jonizuotų priemaišų



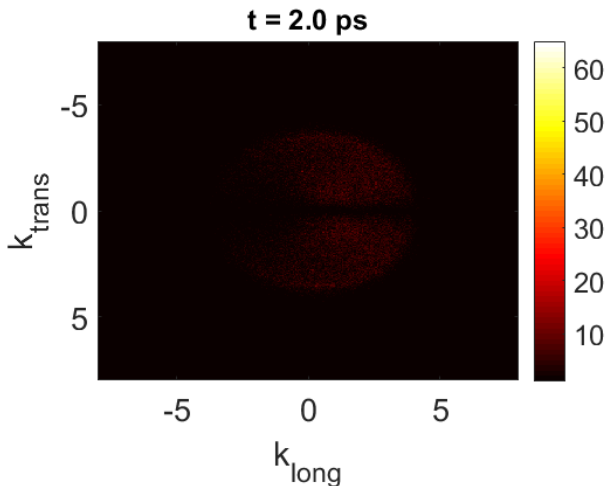
Elektronų dinamika be jonizuotų priemaišų



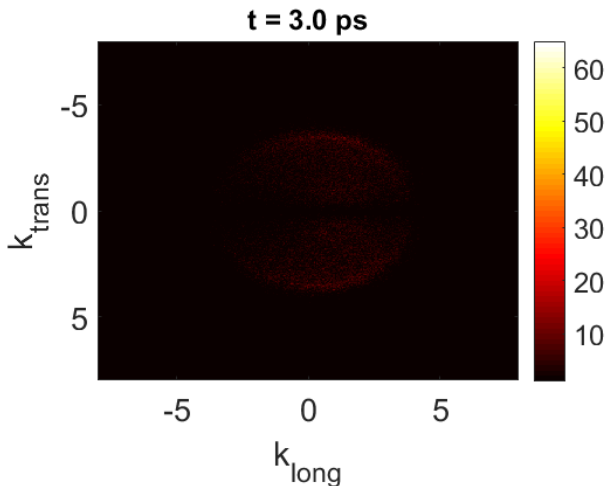
Elektronų dinamika be jonizuotų priemaišų



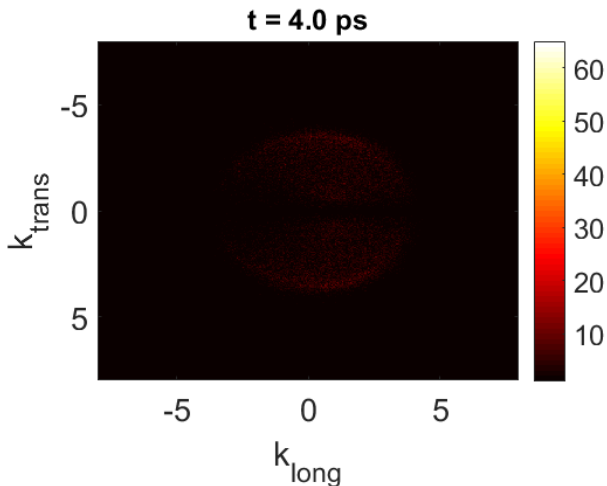
Elektronų dinamika be jonizuotų priemaišų



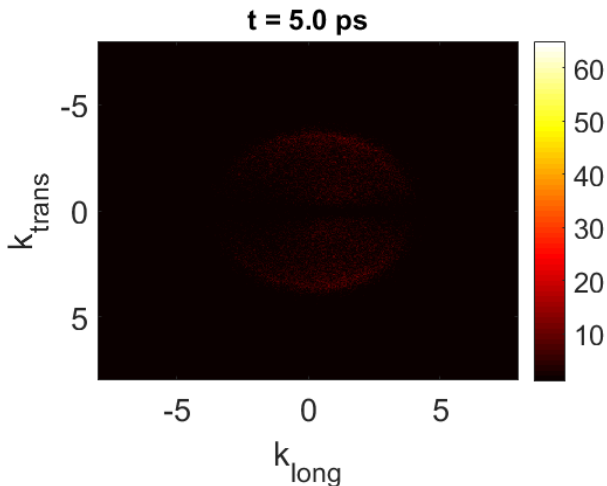
Elektronų dinamika be jonizuotų priemaišų



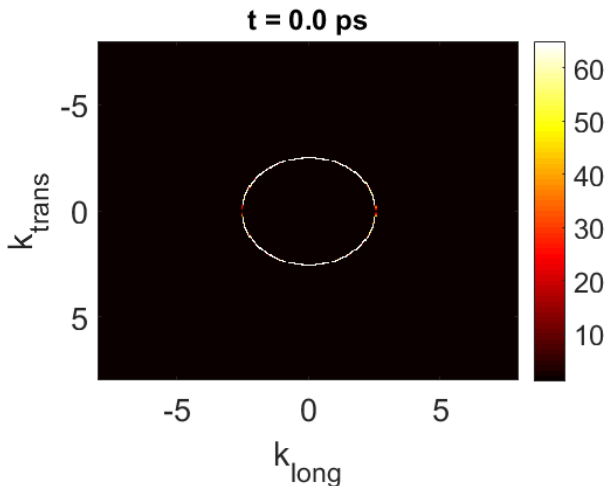
Elektronų dinamika be jonizuotų priemaišų



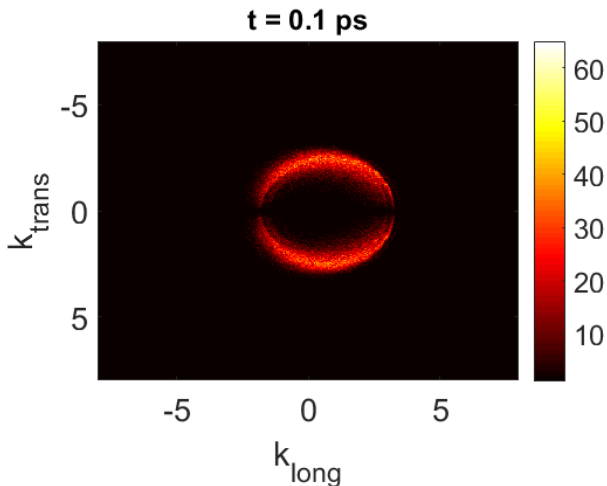
Elektronų dinamika be jonizuotų priemaišų



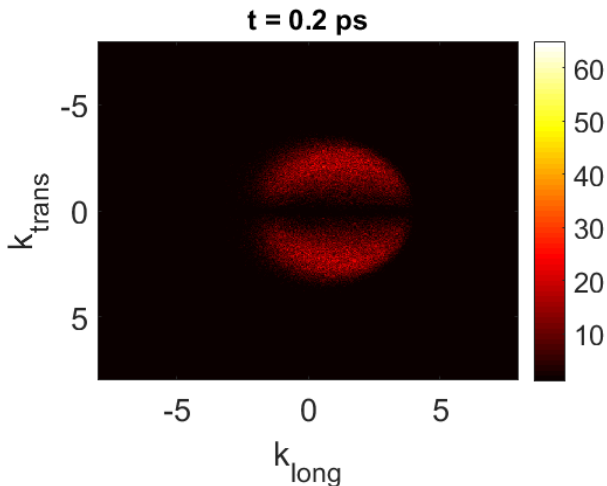
Elektronų dinamika su jonizuotomis priemaišomis



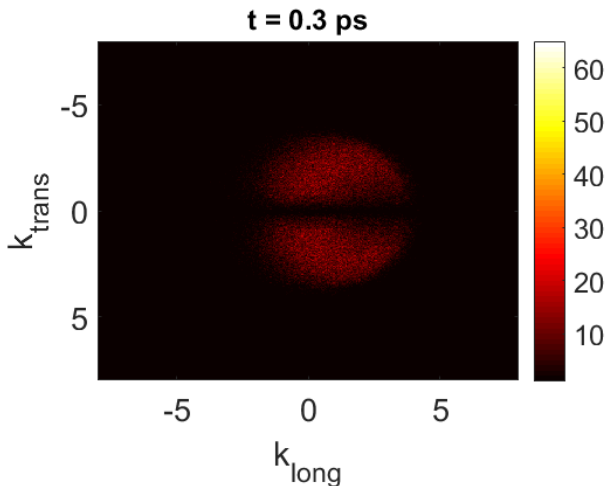
Elektronų dinamika su jonizuotomis priemaišomis



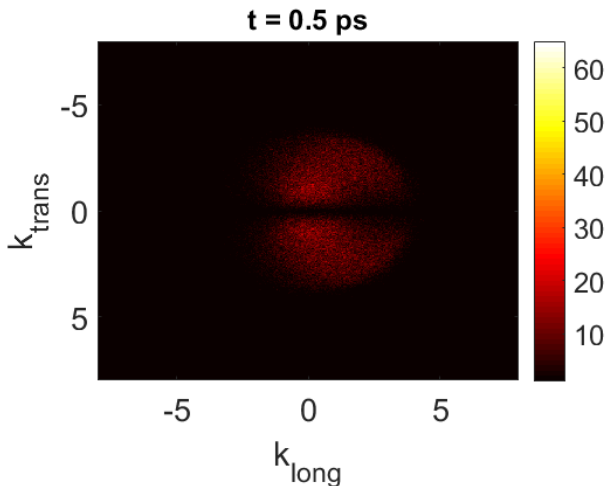
Elektronų dinamika su jonizuotomis priemaišomis



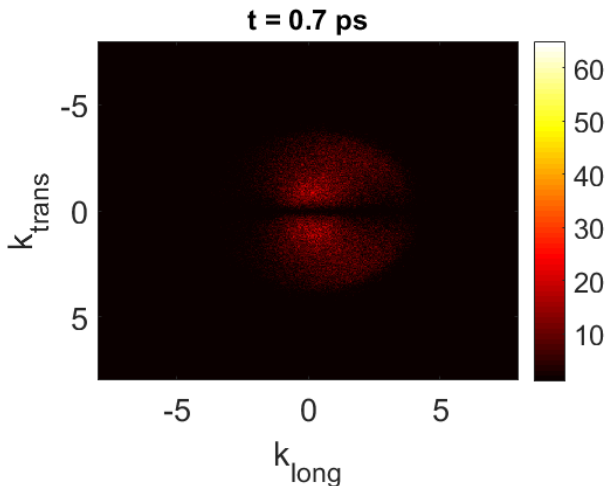
Elektronų dinamika su jonizuotomis priemaišomis



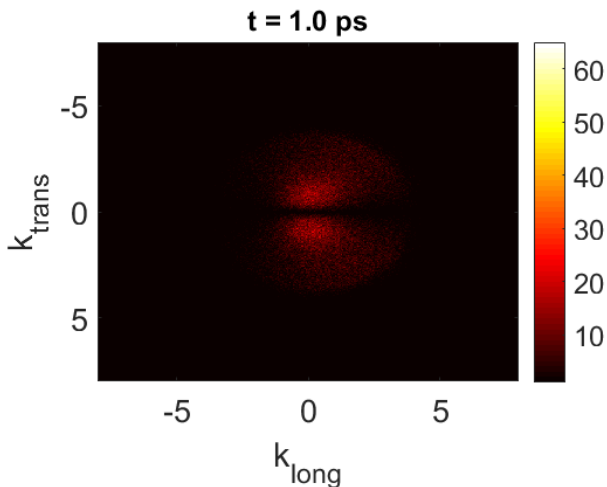
Elektronų dinamika su jonizuotomis priemaišomis



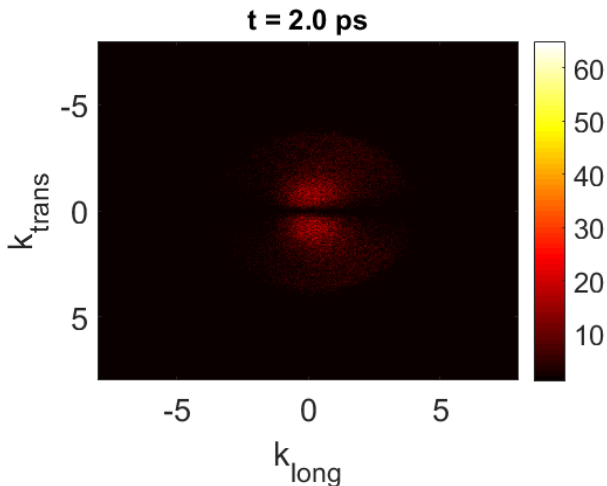
Elektronų dinamika su jonizuotomis priemaišomis



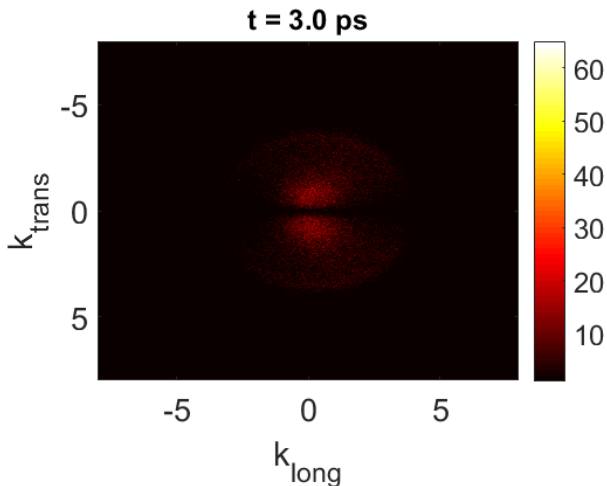
Elektronų dinamika su jonizuotomis priemaišomis



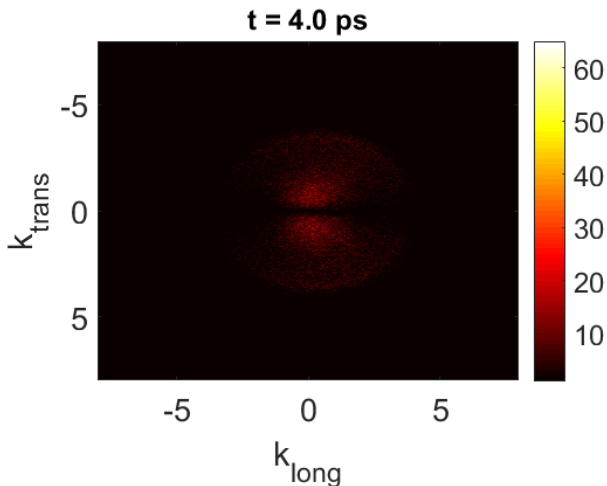
Elektronų dinamika su jonizuotomis priemaišomis



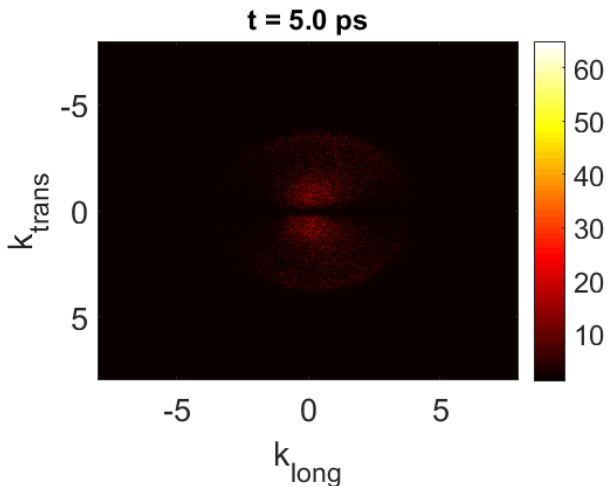
Elektronų dinamika su jonizuotomis priemaišomis



Elektronų dinamika su jonizuotomis priemaišomis



Elektronų dinamika su jonizuotomis priemaišomis



Srovės tankio skaičiavimas

Kiekviena dalelė turi:

- ▶ Koordinatę
- ▶ Impulsą
- ▶ Energiją

$$v_{drift}(x, t) = \frac{1}{N} \sum_i \mathbf{v}_i(x, t) \cdot \mathbf{x}_0$$

$$j_{MC} = e v_{drift}(x, t) n(x, t)$$

$$j_{DD} = e \mu E_0 n(t)$$



Modelių parametrai

$$j_{MC} = e v_{drift}(x, t) n(x, t)$$

$$j_{DD} = e \mu E_0 n(t)$$

1. Monte Carlo

- ▶ N_i — jonizuotų priemaišų koncentracija
- ▶ τ — elektronų rekombinacijos laikas

2. ODE

- ▶ μ — elektronų judris
- ▶ τ — elektronų rekombinacijos laikas



Rekombinācijos laikas LTG-GaAs

$$\tau = \frac{1}{\sigma_n N_D \nu_{th}},$$

$\sigma_n = 1.1 \cdot 10^{-13} \text{ cm}^2$ — elektronu pagāvimo skerspjuvis Be legiruotāme LTG-GaAs

N_D — Be koncentracija

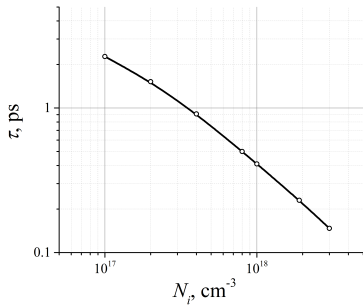
$\nu_{th} = 4 \cdot 10^9 \text{ cm}^2$ — elektronu šiluminis greitis.

$$N_i = (N_D + N_A),$$

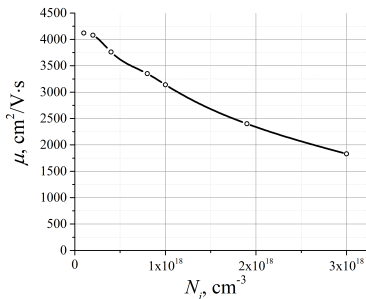
$$N_e = (N_D - N_A) = 10^{17} \text{ cm}^{-3}.$$



MC ir ODE parametru sąryšis



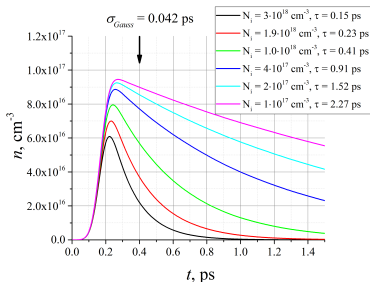
Rekombinacijos laiko priklausomybė nuo jonizuotų priem. koncentracijos



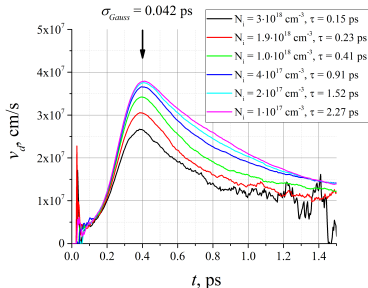
Pritaikyta elektronų judrio vertė



Fotosužadintų elektronų dinamika



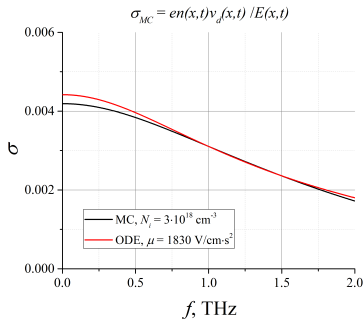
Elektronų koncentracijos kitimas laike



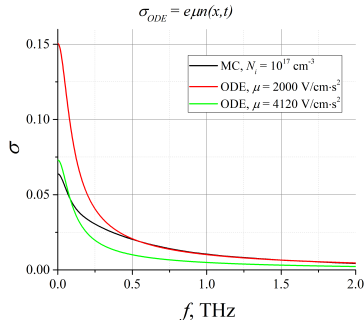
Dreifinio greičio kitimas laike



Elektronų judrio priderinimas



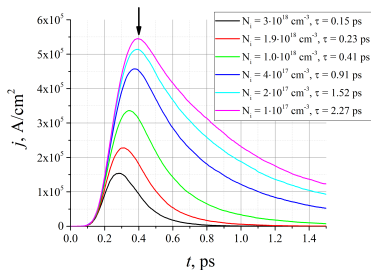
Daug jonizuotų priemaišų



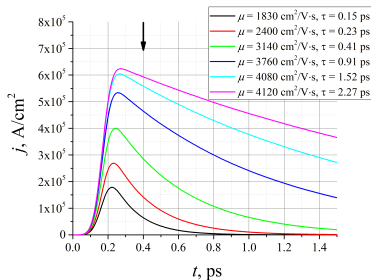
Mažai jonizuotų priemaišų



Fotosrovē



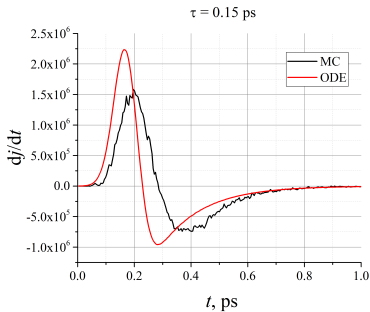
Fotosrovē pagal MC modelj



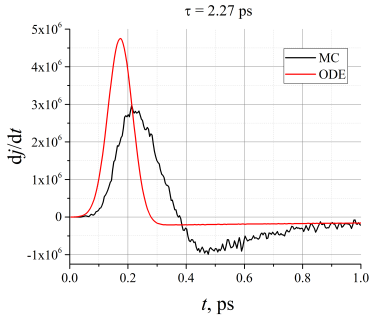
Fotosrovē pagal ODE modelj



Fotosrovės išvestinė



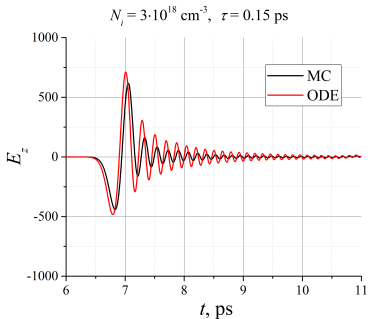
Greita rekombinacija $\tau = 0.15$ ps



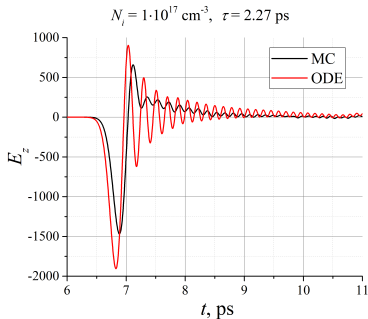
Greita rekombinacija $\tau = 2.23$ ps



THz impulsas



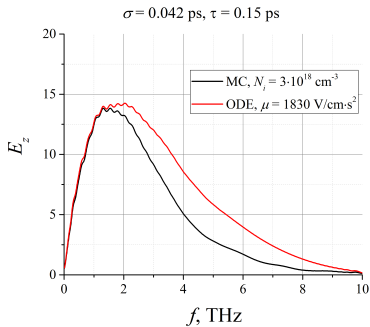
THz impulsas kai **daug** jon. priem.
($\tau = 0.15 \text{ ps}$)



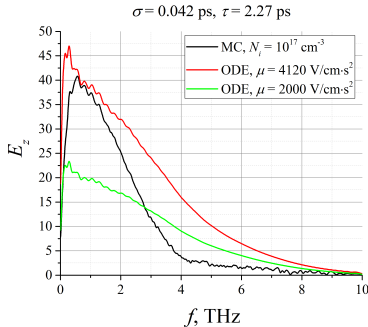
THz impulsas kai **maāai** jon. priem.
($\tau = 2.27 \text{ ps}$)



THz impulso spektras



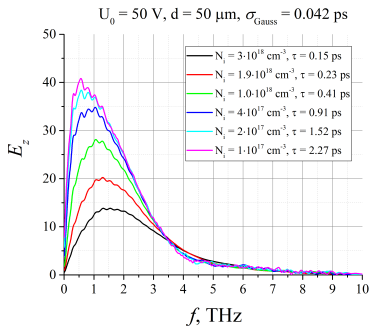
Daug jonizuotų priemaišų greita rekombinacija



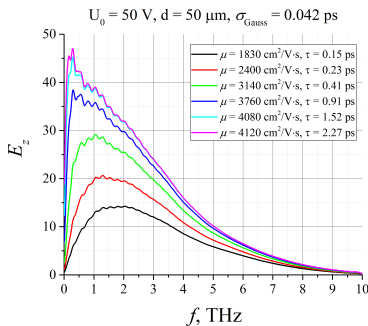
Mažai jonizuotų priemaišų lėta rekombinacija



THz spektrų palyginimas



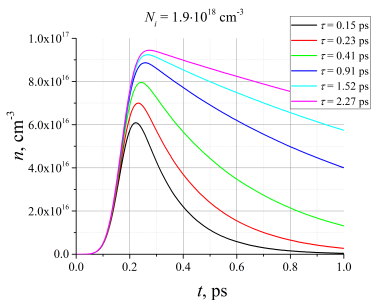
THz spektrai pagal MC modelį



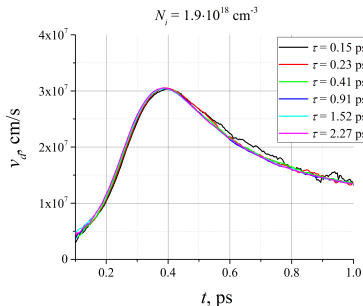
THz spektrai pagal ODE modelį



Tyrimas nuo elektronų rekombinacijos laiko τ



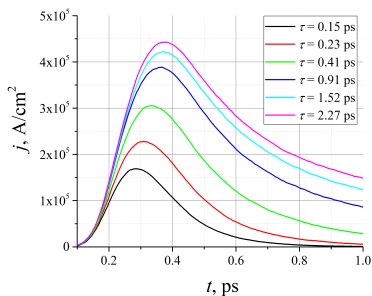
Elektronų koncentracijos kitimas laike



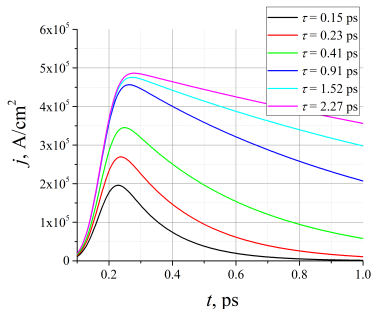
Dreifinio greičio kitimas laike



Fotosrovē



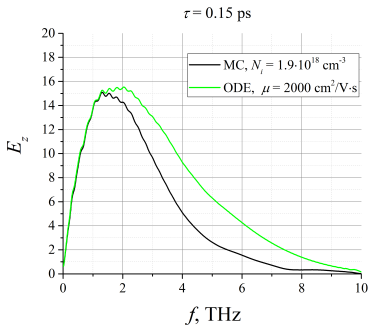
Fotosrovē pagal MC modelj



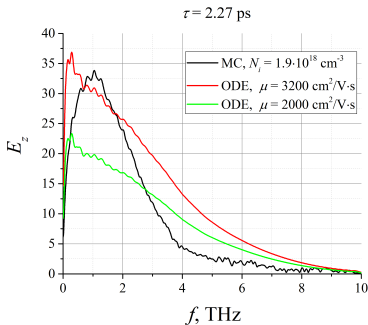
Fotosrovē pagal ODE modelj



THz spektrai



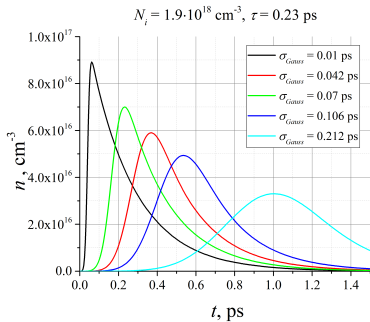
Greita rekombinacija



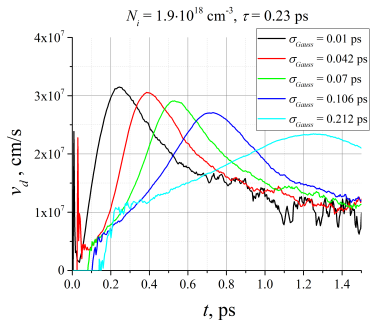
Lėta rekombinacija



Fotosužadintų elektronų dinamika prie skirtingos lazerio impulso trukmės



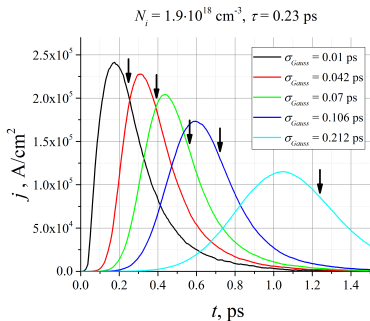
Elektronų koncentracijos kitimas laike



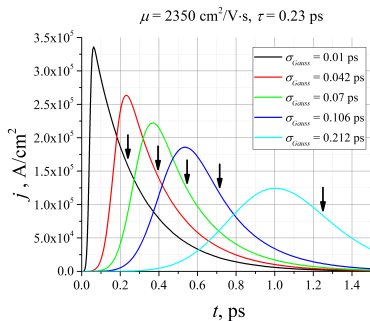
Dreifinio greičio kitimas laike



Fotosrovė



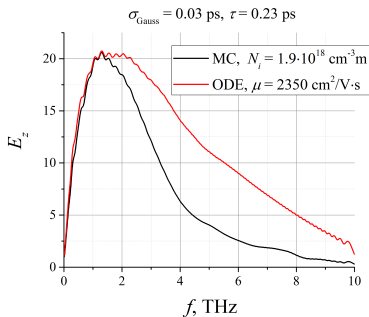
Fotosrovė pagal MC modelį



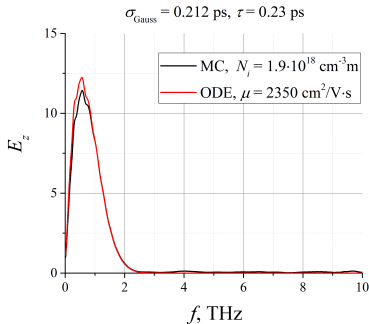
Fotosrovė pagal ODE modelį



THz spektrų palyginimas



Trumpo impulso THz spektras

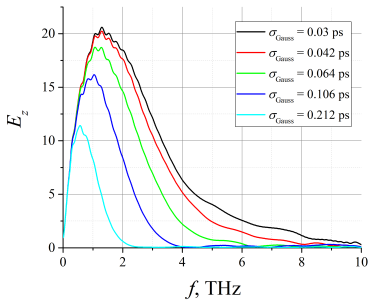


Ilgio impulso THz spektras



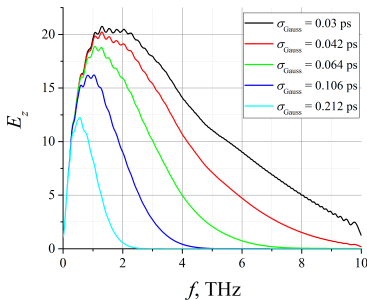
THz spektrai

$N_i = 1.9 \cdot 10^{18} \text{ cm}^{-3} \text{ m}$, $\tau = 0.23 \text{ ps}$, dipole = 50 μm



THz spektrai pagal MC modelį

$\mu = 2350 \text{ cm}^2/\text{V}\cdot\text{s}$, $\tau = 0.23 \text{ ps}$, dipole = 50 μm



THz spektrai pagal ODE modelį



Išvados

- ▶ ODE modelis prognozuoja platesnį THz impulso spektrą aukštuose dažniuose
- ▶ ODE modelio tikslumas mažėja:
 - ▶ Mažėjant jonizuotų priemaišų koncentracijai
 - ▶ Ilgėjant elektronų rekombinacijos trukmei
 - ▶ Trumpėjant lazerio impulsui
- ▶ Esant greitai rekombinacijai THz impulso spektras žemuose dažniuose ODE ir MC modeliuose sutampa
- ▶ ODE modelį tam tikrais atvejais galima naudoti THz antenos optimizavimui



Dėkoju už dėmesį!

